



(12) **EUROPÄISCHE PATENTANMELDUNG**

(43) Veröffentlichungstag:
01.12.2004 Patentblatt 2004/49

(51) Int Cl.7: **G01P 3/66**

(21) Anmeldenummer: **04007014.6**

(22) Anmeldetag: **24.03.2004**

(84) Benannte Vertragsstaaten:
AT BE BG CH CY CZ DE DK EE ES FI FR GB GR
HU IE IT LI LU MC NL PL PT RO SE SI SK TR
 Benannte Erstreckungsstaaten:
AL LT LV MK

(72) Erfinder:
 • **Alberti, Aldo**
8404 Winterthur (CH)
 • **Münzel, Klaus**
5313 Klingnau (CH)

(30) Priorität: **28.05.2003 CH 9612003**

(74) Vertreter: **OK pat AG**
Chamerstrasse 50
6300 Zug (CH)

(71) Anmelder: **OERLIKON CONTRAVES AG**
8050 Zürich (CH)

(54) **Vorrichtung und Verfahren zur Ermittlung der Mündungsgeschwindigkeit eines Projektils**

(57) Vorrichtung (10) und Verfahren zur Ermittlung der Mündungsgeschwindigkeit (V_0) eines Projektils (1) beim Austritt aus einem Waffenrohr (11). Die Vorrichtung (10) umfasst eine Spule (12), die im Bereich vor dem Austritt um eine Längsachse (11.1) des Waffenrohrs (11) herum angeordnet ist, und eine Versorgungsvorrichtung (15) zum Einprägen eines Stromes (I) in die Spule (12), um ein Magnetfeld (H) zu erzeugen. Die Vor-

richtung (10) umfasst zusätzlich eine Auswertevorrichtung (16), die einen Spannungspuls, der beim Durchtritt des Projektils (1) durch das Magnetfeld der Spule (12) induziert wird an der Spule (12) abgreift. Es werden zwei vorgegebene Punkte des Spannungspulses erfasst, das Zeitintervall zwischen den zwei Punkten ermittelt, und aus dem Zeitintervall die Mündungsgeschwindigkeit (V_0) des Projektils (1) berechnet.

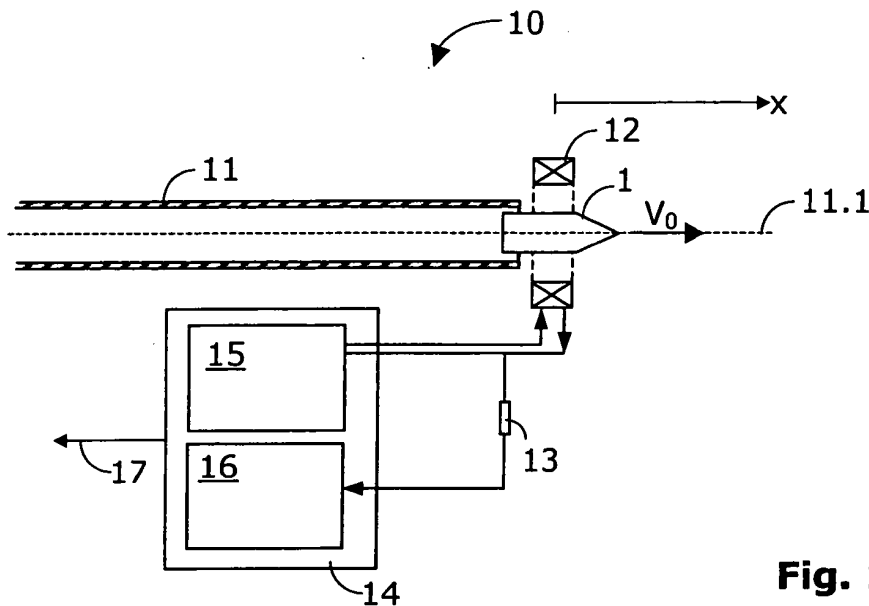


Fig. 1

Beschreibung

[0001] Die Erfindung betrifft eine Vorrichtung zur Ermittlung der Mündungsgeschwindigkeit eines Projektils nach dem Anspruch 1 und ein Verfahren zur Ermittlung der Mündungsgeschwindigkeit eines Projektils nach dem Anspruch 15.

[0002] Es wird die Priorität des Schweizer Patentgesuches Nr. 2003 0961/03 vom 28. Mai 2003 beansprucht.

[0003] Die Mündungsgeschwindigkeit eines Projektils wird im Schiesswesen üblicherweise mit V_0 bezeichnet und auch V_0 -Geschwindigkeit genannt. Es handelt sich hierbei um diejenige Geschwindigkeit, mit der sich ein von einer Rohrwaaffe abgeschossenes Projektil beim Austritt aus dem Waffenrohr relativ zum Waffenrohr auf seiner Trajektorie bewegt.

[0004] Unter dem Begriff einer Rohrwaaffe sollen im Rahmen der vorliegenden Beschreibung sowohl Geschütze wie auch Raketenabschussrohre verstanden werden. Unter dem Begriff eines Projektils sollen alle Flugkörper verstanden werden, die aus einem Waffenrohr abschussbar sind, also ballistische Projektilen und Projektilen mit mindestens teilweisem Selbstantrieb. Als ballistische Projektilen werden übliche herkömmliche Geschosse, die beim Aufprall detonieren, wie auch tempierbare bzw. programmierbare Geschosse, die zum Beispiel im Flug detonieren, verstanden. Die Projektilen können drall- und/oder pfeilstabilisiert sein, sie können beispielsweise als Treibspiegelgeschosse, als Primärgeschosse, welche mehrere Sekundärgeschosse mit sich führen, oder als Übungsgeschosse mit Kern und Mantel ausgebildet sein.

[0005] Von der V_0 -Geschwindigkeit sind unter anderem die Flugdauer, die Schussdistanz und die Treffpunktlage abhängig. Die genaue Kenntnis der Mündungsgeschwindigkeit V_0 ist aber insbesondere im Zusammenhang mit programmierbaren Projektilen wichtig, da der Zeitpunkt der Übertragung eines Programmiercodes an ein Projektil zwecks Erreichung der gewünschten Waffenwirkung von der Mündungsgeschwindigkeit V_0 abhängt. Die Mündungsgeschwindigkeit V_0 hängt auch vom Gewicht und der Temperatur der Treibladung ab.

[0006] Eine theoretische Mündungsgeschwindigkeit $V_0(\text{theor})$ lässt sich rechnerisch ermitteln, wenn alle diesbezüglich relevanten Daten, welche die Waaffe bzw. das Waffenrohr und das abzuschliessende Projektil betreffen, bekannt sind. In Wirklichkeit weicht die Mündungsgeschwindigkeit V_0 fast immer von der theoretisch berechneten Mündungsgeschwindigkeit $V_0(\text{theor})$ ab, unter anderem, weil sowohl die Waaffe bzw. das Waffenrohr als auch das Projektil nicht genau mit den der Berechnung zu Grunde gelegten Daten übereinstimmen. Insbesondere verringert sich die V_0 -Geschwindigkeit als Folge der Abnutzung des Waffenrohres. Es ist daher unumgänglich, beim Schiessen jeweils die tatsächliche Mündungsgeschwindigkeit zu messen, um im Hinblick auf das zu bekämpfende Ziel ggfs. Azimut und Elevation des Waffenrohres zu korrigieren und/oder um die Programmierung des Projektils oder mindestens der nachfolgenden Projektilen entsprechend durchzuführen.

[0007] Zur Messung der tatsächlichen V_0 -Geschwindigkeit sind verschiedene Vorrichtungen und Verfahren bekannt. Häufig basiert die Messung der V_0 -Geschwindigkeit auf einem Schrankenprinzip. Eine solche V_0 -Messung ist aus der EP-0 108 979-A1 bekannt. Hier werden zwei Spulen benutzt, die in einem bekannten gegenseitigen Abstand angeordnet sind, und zwar in Flugrichtung des Projektils gesehen nach dem Austrittsquerschnitt des Waffenrohres. Diese Spulen bzw. ihr gegenseitiger Abstand bilden eine Messbasisstrecke. Die Spulen sind im Allgemeinen mindestens annähernd konzentrisch zur Längsachse des Waffenrohres angeordnet, und ihr Innendurchmesser ist etwas grösser als das Kaliber des Waffenrohres. Die Spulen liegen an Stromquellen, so dass sich im Bereich jeder Spule ein Magnetfeld ergibt und bei Durchtritt des Projektils eine induzierte Spannung abgreifbar ist. Während ein Projektil den Bereich der Spulen durchfliegt, wird das Magnetfeld gestört, und die abgreifbare Spannung ändert sich in Funktion der Relativlage des Projektils zur Spule.

[0008] Diese vorbekannte Zweispulen-Vorrichtung zur V_0 -Messung weist einige Nachteile auf, von denen die Wichtigsten in der Folge kurz genannt sein sollen. Durch die Anordnung von zwei Spulen hat die Vorrichtung ein verhältnismässig hohes Gewicht und ein grosses Volumen. Auch der Aufwand an zusätzlichen Geräten ist wegen der Anordnung von zwei Spulen verhältnismässig gross, da für jede Spule ein Auswertekanal benötigt wird. Im Weiteren muss die Vorrichtung für eine präzise V_0 -Messung eine bestimmte Länge aufweisen, da der Abstand der Spulen unter anderem durch die Länge des jeweilig zu verschliessenden Projektils bestimmt ist. Sollen also aus einem Waffenrohr auch lange Projektilen, beispielsweise Unterkalibergeschosse, verschossen werden, so sind die Spulen weiter voneinander entfernt, wobei insbesondere die zweite Spule weit von der Waffenrohrmündung entfernt ist. Die Spulen können ohnehin leicht beschädigt werden, und die Gefahr der Beschädigung der Spulen nimmt zu, je weiter sie vom Waffenrohr entfernt sind. Wenn die Absicht besteht, Unterkalibermunition zu verschliessen, so müssen aufwendige konstruktive Massnahmen getroffen werden, um eine Beschädigung der Spulen durch die Treibspiegelbestandteile zu verhindern, die sich unmittelbar nach dem Abschuss vom eigentlichen Projektil entfernen. Sollen nur kurze Projektilen verschossen werden, so würde keine lange Messbasisstrecke benötigt, und die Spulen könnten in einem relativ geringen Abstand voneinander angeordnet werden. Dabei besteht aber die Gefahr, dass sich die beiden Spulen bezüglich der sich in ihrem Bereich abspielenden elektromagnetischen Wirkungen gegenseitig beeinflussen und dadurch eine präzise V_0 -Messung verhindern, oder eine solche apparativ aufwendig machen.

[0009] Aus der Patentanmeldung GB-2 200 215 ist eine Vorrichtung zur Durchführung einer V_0 -Messung bekannt,

bei der nicht zwei Spulen sondern nur eine einzige Spule eingesetzt wird. Diese Spule ist unmittelbar vor dem Mündungsquerschnitt angeordnet. Sie liegt also um das bzw. an dem Waffenrohr und steht unter Strom, so dass im Bereich der Spule ein Magnetfeld entsteht. Wie bei der oben beschriebenen Zweispulen-Vorrichtung, wird beim Durchtritt des Projektils durch die Spule eine sich zeitlich verändernde induzierte Spannung abgegriffen. Mit dieser Einspulen-Vorrichtung werden zwar gewisse Nachteile der Zweispulen-Vorrichtung vermieden, insbesondere deren relativ grosse Abmessungen und Gewicht, die Beschädigungsgefahr wird praktisch eliminiert, eine gegenseitige Störung von mehreren Spulen ist ausgeschlossen und es ist nur ein Auswertekanal erforderlich. Nachteilig an dieser Vorrichtung ist aber, dass hier das Magnetfeld, durch welches sich das Projektil bewegt, vom Waffenrohr gestört wird. Ferner entstehen bei modernen Waffen am Waffenrohr sehr hohe Temperaturen bis zu 600°C. Spulen mit Wicklungen aus Kupfer, wie sie bevorzugt verwendet werden, könnten bei einer Anordnung am Waffenrohr gar nicht verwendet werden, da sie nur bei Temperaturen bis etwa 250°C einsetzbar sind. Es ist ein weiterer Nachteil dieser Anordnung, dass das magnetische Feld der Spule durch das Waffenrohr gestört und gedämpft wird. Eine solche Anordnung hat also eine reduzierte Empfindlichkeit. Die induzierte Spannung hat eine kleinere Amplitude und die Auswertung eines solch "kleinen" Signals ist ungenau.

[0010] Im Weiteren ist aus der JP-05 164 760 eine Vorrichtung zur Durchführung der V0-Messung bekannt, die auch nur eine Spule aufweist. Die Spule ist wie üblich koaxial zum Waffenrohr angeordnet, aber sie befindet sich im Waffenrohr selbst, und zwar in Richtung der Waffenrohr-Längsachse gesehen nahe beim Austrittsquerschnitt der Projektil. Der Innendurchmesser der Spule ist grösser als der Innendurchmesser des Waffenrohres, so dass die sonst durchgehend zylindrische Innenfläche des Waffenrohres am Ort der Spule durch einen Luftspalt unterbrochen ist. Die zu verschiedenen Projektilen weisen an ihrem Umfang einen ferromagnetischen Ring auf. Die axiale Länge des Luftspaltes bzw. des ferromagnetischen Ringes bildet die Messbasisstrecke. Gemessen wird der Verlauf der Änderung des Magnetfeldes der Spule. Beim Durchtritt des ferromagnetischen Ringes durch den Bereich der Spule bzw. des Luftspaltes ergibt sich ein Kurzschluss im magnetischen Kreis, die Feldstärke steigt an, und deshalb lässt sich eine pulsartige Stromänderung feststellen. Da die Messbasisstrecke bzw. der ferromagnetische Ring in Axialrichtung nur eine geringe Abmessung hat, ist die pulsartige Änderung von geringer zeitlicher Dauer. Diese Vorrichtung zur Durchführung der V0-Messung ist rohrgebunden, das mit ihr durchgeführte Messverfahren kann nur realisiert werden, wenn spezielle Projektilen, nämlich solche mit ferromagnetischen Ringen, verwendet werden.

[0011] Es ist nun Aufgabe der Erfindung, eine Vorrichtung und ein Verfahren für die Durchführung der V0-Messung vorzuschlagen, mit welchem die Nachteile der bekannten Ein- und Zweispulen-Vorrichtungen vermieden werden.

[0012] Die Lösung dieser Aufgabe erfolgt erfindungsgemäss für die Vorrichtung durch die Merkmale des Anspruchs 1 und für das Verfahren durch die Merkmale des Anspruchs 15. Bevorzugte Weiterbildungen und vorteilhafte Einzelheiten sind durch die jeweiligen abhängigen Ansprüche definiert.

[0013] Das augenscheinlich wichtigste Merkmal, durch welches sich die neue Vorrichtung von den weiter oben beschriebenen bekannten Zweispulen-Vorrichtungen unterscheidet, liegt darin, dass nur eine einzige Spule benötigt wird. Bei der neuen Vorrichtung, durch welche keine Schranke gebildet wird, stehen nur Signale einer einzigen Spule zur Verfügung, so dass zur Auswertung der von der Spule zur Verfügung gestellten Daten auch ein neues Verfahren zum Einsatz kommt.

[0014] Die Spule liegt nicht am Äusseren des Waffenrohrs an, sondern sie ist, in Bewegungsrichtung des Projektils gesehen, nach dem Mündungsquerschnitt des Waffenrohres angeordnet. Dort sind die Temperaturen so tief, dass Spulen mit Kupferwicklungen eingesetzt werden können. Vorteilhaft an der Anordnung der Spule nach dem Mündungsquerschnitt ist auch, dass das Magnetfeld nicht durch das Rohr beeinflusst wird. Somit ist die Frequenz des entsprechenden Signals kleiner und man erzielt bei der Auswertung bessere Ergebnisse.

[0015] Die neue Vorrichtung mit nur einer Spule ist wesentlich kürzer als die bekannten Zweispulen-Vorrichtungen, und sie ist auch entsprechend leichter. Der Aufwand an weiteren Geräten ist im Vergleich mit dem Stand der Technik reduziert, da für die Auswertung nur ein Auswertekanal benötigt wird. Die Gefahr der Beschädigung der Spulen ist stark reduziert, da keine Spule in verhältnismässig grossem Abstand von der Waffenrohrmündung angeordnet werden muss.

[0016] Das neue Verfahren ist so, dass an der Vorrichtung keine Messbasisstrecke benötigt wird. Die Vorrichtung ist daher auch für relativ lange Projektilen, beispielsweise für Unterkalibergeschosse, gut geeignet.

[0017] Die Genauigkeit des neuen Verfahrens ist bei entsprechend hoher Herstellungsgenauigkeit aller Teile für jede praktische Verwendung genügend. Unbedeutende Ungenauigkeiten können ihre Ursache darin haben, dass das erzeugte Magnetfeld nicht völlig konstant ist, und dass die Projektilen, die ihrerseits Parameter für die V0-Messung bilden, sich immer um ein wenig voneinander unterscheiden können. Sodann wirkt eine Mündungsbremse, wenn das Projektil das Waffenrohr verlässt, wodurch unbekannte minimale Bewegungen entstehen, die eine Überlagerung des zur Verfügung gestellten Messsignals verursachen können.

[0018] Einzelheiten und Vorteile der Erfindung werden im Folgenden anhand von Ausführungsbeispielen und mit Bezug auf die Zeichnung ausführlich beschrieben. Es zeigen:

EP 1 482 311 A1

Fig. 1 ein Waffenrohr mit einer erfindungsgemässen Vorrichtung, in vereinfachter, schematisierter Darstellung;

Fig. 2 in der linken Hälfte der Figur drei Teilfiguren mit je einem Projektil beim Austritt aus dem Waffenrohr in drei verschiedenen Lagen bzw. zu drei aufeinanderfolgenden Zeitpunkten, und in der rechten Hälfte der Figur den Verlauf der Spannung als Funktion der Zeit beim Durchtritt des Projektils durch eine Spule der erfindungsgemässen Vorrichtung;

Fig. 3 ein erstes Ausführungsbeispiel der Vorrichtung nach der Erfindung, wobei die Auswertung der von der Spule zur Verfügung gestellten Grössen in analoger Weise erfolgt, dargestellt als Schaltbild; und

Fig. 4 ein zweites Ausführungsbeispiel der Vorrichtung nach der Erfindung, wobei die Auswertung der von der Spule zur Verfügung gestellten Grössen in digitaler Weise erfolgt, in gleicher Darstellung wie Fig. 3.

[0019] Mit Bezug auf Fig. 1 werden eine Ausführungsform der Erfindung und die Funktion des erfindungsgemässen Verfahrens beschrieben. In Fig. 1 ist eine Vorrichtung 10 zur Ermittlung der V_0 -Geschwindigkeit eines Projektils 1 beim Austritt aus einem Waffenrohr 11 gezeigt. Die Vorrichtung 10 umfasst eine Spule 12, die eine Wicklung besitzt, und die im Bereich des Austritts um eine Längsachse 11.1 des Waffenrohrs 11 herum angeordnet ist. Die Wicklung der Spule 12 kann, je nach Ausführungsform, aus einer oder mehreren Windungen bestehen. Es ist eine Versorgungsvorrichtung 15 vorgesehen, um einen konstanten Strom I in die Wicklung der Spule 12 einzuprägen. Der Strom I , der durch die Wicklung der Spule 12 fliesst, erzeugt ein Magnetfeld H im Umfeld der Spule 12. Dieses Magnetfeld H wird beim Durchtritt des Projektils 1 durch die Spule 12 gestört und dadurch verändert. Aus der Störung bzw. Veränderung des Magnetfelds H kann bei entsprechender Auswertung, wie im Folgenden hergeleitet wird, eine zuverlässige und genaue Aussage über die V_0 -Geschwindigkeit gemacht werden.

[0020] Das Projektil 1 induziert beim Durchtritt durch die Spule 12 eine Spannung $U(t)$ in der Wicklung der Spule 12. Diese induzierte Spannung $U(t)$ kann wie folgt bestimmt werden:

$$U(t) = -N \frac{d\Phi}{dt} = -N \frac{d\Phi}{dx} \frac{dx}{dt} = -N \frac{d\Phi}{dx} V_0 \quad (1)$$

[0021] Es bedeuten:

N : Anzahl der Windungen der Wicklung der Spule 12 [-];
 x : zurückgelegte Distanz des Geschosses in Schussrichtung [m];
 V_0 : Mündungsgeschwindigkeit, auch V_0 -Geschwindigkeit genannt, [m/s];
 Φ : magnetischer Fluss [Volt s].

[0022] Die zeitliche Flussänderung $d\Phi/dx$ ist proportional zur Änderung der magnetischen Feldstärke $dH(x)/dx$, die mit Hilfe des Gesetzes von Bio und Savart wie folgt approximativ bestimmt werden kann:

$$\frac{d\Phi}{dx} = \frac{DG^2}{4} \mu_0 \cdot \mu_r \frac{dH(x)}{dx} \quad (2)$$

[0023] Es bedeuten:

DG : Durchmesser des Projektils 1 [m];
 μ_0 : Induktionskonstante [H/m=Vs/Am];
 μ_r : Permeabilität;
 H : Magnetische Feldstärke [A/m];

[0024] Für $H(x)$ folgt dem Gesetz von Biot-Savart zu:

$$H(x) = \frac{I \cdot D^2 \cdot N}{8 \cdot \left[x^2 + \left[\frac{D}{2} \right]^2 \right]^{3/2}} \quad (3)$$

[0025] Es bedeuten:

D: Durchmesser der Spule 12 [m]
 I: Strom durch die Spule 12 [A]

[0026] Differenziert man die Gleichung (3) nach x, so folgt für die Änderung der magnetischen Feldstärke als Funktion von x:

$$\frac{dH(x)}{dx} = \frac{I \cdot D^2 \cdot N}{8} x \cdot 3 \left[x^2 + \left[\frac{D}{2} \right]^2 \right]^{-5/2} \quad (4)$$

[0027] Aus den Gleichungen (1), (2) und (4) folgt für die Beziehung für die induzierte Spannung U(t) während des Durchgangs des Projektils 1 durch die Spule 12 der folgende Ausdruck:

$$U(t) = VK \frac{DG^2 \pi}{4} \mu_0 \cdot \mu_r \frac{ID^2 N^2}{8} x \cdot 3 \left[x^2 + \left[\frac{D}{2} \right]^2 \right]^{-5/2} \quad (5)$$

[0028] Darin bedeutet:

K: Spannungsreduktion infolge der auftretenden Wirbelströme im Gehäuse des Projektils 1

[0029] Die Bedeutung der oben hergeleiteten Gleichungen wird nun mit Bezug auf Fig. 2 erläutert. Für die Erklärung des Spannungsverlaufs U(t) ist insbesondere die Gleichung (4) massgebend:

[0030] Für x = 0 gilt:

Das Projektil 1 befindet sich, in Bewegungsrichtung gesehen, in der Mitte der Spule 12 bzw. der mittlere Querschnitt des Projektils 1 liegt, in Bewegungsrichtung gesehen, im mittleren Querschnitt der Spule 12 und die in der Spule 12 induzierte Spannung U(t) ist Null. Dies ist zum Zeitpunkt t = ta der Fall.

[0031] Für x < 0 gilt:

Das Projektil 1 befindet sich, in Bewegungsrichtung gesehen, links von der Mitte der Spule 12 und taucht mit der Geschwindigkeit v0 in die Spule 12 ein. Die induzierte Spannung U(t) nimmt mit zunehmendem x kontinuierlich zu und erreicht einen Maximalwert. Dann nimmt die Spannung U(t) wieder ab und hat einen Nulldurchgang bei x = 0, wenn sich das Projektil 1 in der Mitte der Spule 12 befindet.

[0032] Für x > 0 gilt:

Das Projektil 1 befindet sich rechts von der Mitte der Spule 12 und die induzierte Spannung U(t) nimmt mit zunehmendem x kontinuierlich ab und erreicht einen Minimalwert. Bewegt sich das Projektil 1 weiter aus der Spule 12 heraus, so nimmt die induzierte Spannung U(t) wieder zu und strebt für grosse Werte von x gegen 0 Volt.

[0033] Mit der Gleichung (5) kann der Verlauf der induzierten Spannung U(t) approximativ berechnet werden. Nicht berücksichtigt wurden in der obigen Betrachtung die Wirbelströme, die sich im Mantel des Projektils 1 während des Durchgangs des Projektils 1 durch die Spule 12 aufbauen, und die ein Gegenfeld erzeugen. Dieses Gegenfeld schwächt das ursprüngliche Feld und reduziert die Amplitude der induzierten Spannung U(t) in der Spule 12. Diese Spannungsreduktion wird in der Gleichung (5) durch die Grösse K berücksichtigt. Die Grösse K bzw. hier der Faktor

K wird als Korrelationsgrösse bezeichnet und kann gemäss Erfindung experimentell und/oder rechnerisch ermittelt werden. Jeder Projektiltyp hat eine andere, für ihn charakteristische Korrelationsgrösse K, oder, mit anderen Worten, die Korrelationsgrösse K charakterisiert den Projektiltyp. Wenn man vorher weiss, welcher Projektiltyp verschossen wird, so kann anhand der induzierten Spannung U(t) eine Aussage über die V0-Geschwindigkeit des Projektils 1 getroffen werden. Die Herleitung der V0-Geschwindigkeit wird im Folgenden erklärt.

[0034] Zur Berechnung der V0-Geschwindigkeit wird die Länge eines Verzögerungszeitintervalls TZ gemessen, ausgehend von einem in Fig. 2 dargestellten Startpunkt P1, bei welchem die Amplitude der induzierten Spannung U(t) = + U1 ist. Sobald dann die Amplitude der induzierten Spannung U(t) den Wert -U1 erreicht hat, wird die Zeitmessung gestoppt.

[0035] Es gelten somit die folgenden beiden Gleichungen (6) und (7) zur Bestimmung von x1 und x2.

$$V_0 \cdot K \cdot \frac{DG^2 \cdot \pi}{4} \mu_0 \cdot \mu_r \frac{I \cdot D^2 \cdot N^2}{8} \cdot x_1 \cdot 3 \left[x_1^2 + \left[\frac{D}{2} \right]^2 \right]^{-5/2} - U_1 = 0 \quad (6)$$

$$V_0 \cdot K \cdot \frac{DG^2 \cdot \pi}{4} \mu_0 \cdot \mu_r \frac{I \cdot D^2 \cdot N^2}{8} \cdot x_2 \cdot 3 \left[x_2^2 + \left[\frac{D}{2} \right]^2 \right]^{-5/2} + U_1 = 0 \quad (7)$$

[0036] Ausserdem gilt:

$$V_0 = \frac{x_2 - x_1}{TZ} \quad (8)$$

[0037] Aus dem Gleichungssystem der drei Gleichungen (6), (7) und (8) folgen die gesuchten Werte von V0, x1 und x2.

[0038] Diese theoretische Herleitung wird nun auf das Ausführungsbeispiel der Figuren 1 und 2 angewendet.

[0039] Beim Durchtritt des Projektils 1 durch das Magnetfeld H der Spule 12 wird ein Spannungspuls U(t) induziert, wie in Fig. 2 gezeigt. Die zeitliche Dauer des Spannungspulses U(t) ist mit der V0-Geschwindigkeit und der Länge L des Projektils 1 korreliert. Es ist eine Auswertevorrichtung 16 vorgesehen, die den Spannungspuls U(t) an der Wicklung abgreift. Um nun eine Aussage über die V0-Geschwindigkeit machen zu können, werden zwei Punkte P1, P2 des Spannungspulses U(t) vorgegeben und es wird der zeitliche Abstand bzw. das Zeitintervall TZ von Punkt P1 zu Punkt P2 ermittelt. Aus dem zeitlichen Abstand TZ wird die V0-Geschwindigkeit des Projektils 1 berechnet. Bei dieser Berechnung wird die Korrelationsgrösse K berücksichtigt, die spezifisch für den verschossenen Projektiltyp ist.

[0040] Das Zeitintervall TZ ist unter anderem abhängig von den folgenden Einflussgrössen:

- Länge L des Projektils 1;
- Durchmesser DG des Projektils 1;
- Material und Beschaffenheit (z.B. Permeabilität μ_r) des Projektils 1;
- Spulenstrom I;
- Aufbau der Spule 12
- Anordnung der Spule 12 in Bezug auf Waffenrohr 11,

[0041] Ein erstes Ausführungsbeispiel einer geeigneten Auswertevorrichtung 16 ist in Fig. 3 gezeigt. Die Darstellung zeigt ein schematisches Blockdiagramm. Details des Blockdiagramms, so zum Beispiel die Auswahl und Dimensionierung der konkreten Bauteile, hängen von der gewählten Ausführungsform der Erfindung ab. In dem gezeigten Ausführungsbeispiel versorgt eine als Konstantstromquelle ausgebildete Versorgungseinrichtung 15 die Spule 12, die hier zusätzlich mit L bezeichnet ist, mit einem konstanten Spulenstrom I. Zu diesem Zweck liegt eine Versorgungsspannung V1 an der Versorgungseinrichtung bzw. Konstantstromquelle 15 an. Auf einer Seite der Spulenwicklung 12.1 wird die induzierte Spannung U(t) mittels einer geeigneten Entkoppelung 13 abgegriffen. Die Entkoppelung 13 kann zum Beispiel durch einen Widerstand R und/oder eine Spule L1 mit Netzwerk aus verschiedenen Teilelementen gebildet sein. Die Spannung U(t) wird einer Vorrichtung zur Messsignalaufbereitung 16.1 zugeführt, die zum Beispiel einen Impedanzwandler und/oder einen Verstärker umfasst. Es können hier auch weitere Bauteile vorgesehen werden, zum Bei-

spiel um das Signal $U(t)$ zu filtern. Das Ausgangssignal $u(t)$ der Messsignalaufbereitung wird in der gezeigten Ausführungsform zwei Komparatoren 16.2 und 16.3 zugeführt. Der erste Komparator 16.2 vergleicht die Spannung $u(t)$ mit einer ersten Referenzspannung U_1 und der zweite Komparator 16.3 vergleicht die Spannung $u(t)$ mit einer zweiten Referenzspannung $-U_1$. In diesem Beispiel sind die Referenzspannungen symmetrisch bezüglich der Achse $U = 0$ angelegt. Die Referenzspannungen können aber auch unterschiedliche Werte haben (z.B. $+U_1$ und $-U_2$).

[0042] Zwei TTL-Pulse, oder andere Grössen, die mit dem zeitlichen Abstand bzw. Intervall TZ korreliert sind, können zum Beispiel über eine Verbindung 17 einer Auswertung bzw. Schaltungslogik 18 (zum Beispiel ein FPGA; field programmable array) zugeführt werden. Bei der Auswertung, die im Analogen oder Digitalen erfolgen kann, wird dann anhand des zeitlichen Abstandes TZ und der Korrelationsgrösse K die Geschwindigkeit V_0 ermittelt.

[0043] In Fig. 2 ist auf der rechten Seite ein vereinfachter Verlauf der Spannung $U(t)$ über der Zeit t gegeben. Der Spannungsverlauf hat einen ersten Kurvenzug K1 im positiven Spannungsbereich, einen Nulldurchgang bei $t = t_a$ und einen zweiten Kurvenzug K2 im negativen Spannungsbereich. Die Spannung nimmt von 0 Volt an zu, je weiter das Projektil 1 in das magnetische Feld der Spule 12 eindringt. Die Spannung $U(t)$ erreicht dann ein Maximum und nimmt anschliessend bis zum Nulldurchgang wieder ab. Der Zeitpunkt des Nulldurchgangs ist mit $t = t_a$ bezeichnet. Vom Zeitpunkt $t = t_a$ an nimmt die Spannung weiter ab und erreicht ein Minimum. Bei Austritt des Projektils 1 aus dem magnetischen Feld der Spule 12 reduziert sich die induzierte Spannung $U(t)$ wieder bis 0 Volt. Der Zeitpunkt, zu dem die induzierte Spannung $U(t)$ wieder den Wert 0 erreicht, ist mit t_b bezeichnet.

[0044] Die in Fig. 2 gezeigte Kurve $U(t)$ ist für einen bestimmten Projektilyp charakteristisch, wobei angemerkt sei, dass es sich um eine stark schematisierte Kurve handelt. Es wurden die beiden Punkte P1 und P2 festgelegt, und zwar in dem gezeigten Beispiel der Punkt P1 im ansteigenden Ast des ersten Kurvenzugs K1 und der Punkt P2 im ansteigenden Ast des zweiten Kurvenzugs K2. Die beiden Punkte P1 und P2 sind in diesem Beispiel bezüglich der induzierten Spannung symmetrisch angelegt, das heisst, es ist $U(P1) = -U(P2)$.

[0045] Vorzugsweise werden die Punkte P1 und P2 so festgelegt, dass sie im Bereich der grössten Steigung der Kurve $U(t)$ liegen. Diese Punkte können gefunden werden, indem die zweite Ableitung der Kurve $U(t)$ gebildet und so die Maxima der Steigung gesucht werden. Wählt man nämlich die Punkte P1 und P2 im steilen Bereich der Kurve $U(t)$, so kann das Zeitintervall TZ genauer bestimmt werden, als wenn die Punkte in Bereichen der Kurve $U(t)$ liegen würden, in denen die Kurve nur eine geringe Steigung hat.

[0046] Ein weiteres Ausführungsbeispiel einer geeigneten Auswertevorrichtung ist in Fig. 4 gezeigt. Eine Konstantstromquelle 15 versorgt die Spule 12 mit einem konstanten Spulenstrom I . Zu diesem Zweck liegt eine Versorgungsspannung V_2 an der Konstantstromquelle 15 an. Es wird die induzierte Spannung $U(t)$ abgegriffen. Die Spannung $U(t)$ wird einer Vorrichtung zur Messsignalaufbereitung zugeführt, die in der gezeigten Ausführungsform einen Verstärker 16.1 und/oder einen Impedanzwandler umfasst. Es können hier auch weitere Bauteile vorgesehen werden, zum Beispiel um das Signal $U(t)$ zu filtern. Der Verstärker 16.1 stellt ein verstärktes Signal $u(t)$ bereit, das von einem Analog-Digital-Wandler 16.4 in ein digitales Signal umgesetzt wird. Das digitale Signal wird über einen Bus 17 einer Verarbeitungsvorrichtung 16.7, zum Beispiel einem Rechner, zugeleitet. Die Verarbeitungsvorrichtung 16.7 erhält aus einem Speicher 16.5 oder aus einem Register bzw. einer Tabelle Information über den Typ des verschossenen Projektils 1. Diese Information wird über eine Verbindung 16.6 bereit gestellt. Es kann zum Beispiel die Form der für den momentan verschossenen Projektilyp geltenden Kurve $U(t)$ und die Lage der Punkte P1 und P2 an die Verarbeitungsvorrichtung 16.7 übermittelt werden. Es kann auch die Korrelationsgrösse K über die Verbindung 16.6 bereit gestellt werden. Die Verarbeitungsvorrichtung 16.7 ermittelt dann aus der Information das Zeitintervall TZ und unter Benutzung der Korrelationsgrösse K dann auch die Mündungsgeschwindigkeit V_0 des Projektils 1.

[0047] Die Verarbeitungsvorrichtung 16.7 kann Information über den zu verschossenden Projektilyp von einem Hauptrechner oder von einer Messeinrichtung übermittelt erhalten.

[0048] Gemäss der Erfindung dient also das Projektil 1 selbst als Messbasisstrecke. Es werden keine separaten Spulen mehr benötigt, die in einem Abstand zueinander angeordnet sind und so eine Messbasisstrecke bilden, und die nacheinander von dem Projektil durchflogen werden, um einen Start-Stop Zeitmessung nach dem Schrankenprinzip zu machen.

[0049] Es ist ein Vorteil der Erfindung, dass es keine zwei Spulen mehr gibt, die sich gegenseitig beeinflussen können. Da man gemäss Erfindung mit nur einer Spule arbeitet, ist, wie weiter oben erwähnt, die Länge der V_0 -Messvorrichtung wesentlich kürzer als bei bisherigen Lösungen.

[0050] Es ist, wie ebenfalls weiter oben erwähnt, ein weiterer Vorteil der Erfindung, dass man mit nur einem Messkanal auskommt, um die V_0 -Messung zu machen.

[0051] Eine Vorrichtung mit nur einer Spule ist weniger störanfällig.

Patentansprüche

1. Vorrichtung (10) zur Ermittlung der Mündungsgeschwindigkeit (V_0) eines Projektils (1) beim Austritt aus einem

Waffenrohr (11), mit

- einer Spule (12), die im Bereich vor dem Austritt um eine Längsachse (11.1) des Waffenrohrs (11) herum angeordnet ist,
- einer Versorgungsvorrichtung (15) zum Einprägen eines Stromes (I) in die Spule (12), um ein Magnetfeld (H) zu erzeugen,
- einer Auswertevorrichtung (16), die
 - i. einen Spannungspuls (U(t)), der beim Durchtritt des Projektils (1) durch das Magnetfeld der Spule (12) induziert wird, und dessen zeitliche Dauer mit der Mündungsgeschwindigkeit (V₀) und der Länge (L) des Projektils (1) korreliert ist, an der Spule (12) abgreift,
 - ii. zwei vorgegebene Punkte (P1, P2) des Spannungspulses (U(t)) erfasst,
 - iii. das Zeitintervall (TZ) zwischen den zwei Punkten (P1, P2) ermittelt, und
 - iv. aus dem Zeitintervall (TZ) die Mündungsgeschwindigkeit (V₀) des Projektils (1) berechnet.

2. Vorrichtung (10) gemäß Anspruch 1,

dadurch gekennzeichnet,

dass die Auswertevorrichtung (16) eine Komparatorschaltung (16.2, 16.3) umfasst, die beim Erfassen eines ersten Punktes (P1) der zwei vorgegebenen Punkte (P1, P2) einen ersten Impuls und beim Erfassen des zweiten Punktes (P2) der zwei vorgegebenen Punkte (P1, P2) einen zweiten Impuls abgibt, wobei das Zeitintervall (TZ) der Zeitdauer zwischen dem ersten Impuls und dem zweiten Impuls entspricht und die Impulse vorzugsweise TTL-Signale sind.

3. Vorrichtung (10) gemäß Anspruch 2,

dadurch gekennzeichnet,

dass die Komparatorschaltung (16.2, 16.3) beim Erfassen des ersten Punktes (P1) der zwei vorgegebenen Punkte (P1, P2) einen Vergleich mit der Spannungsamplitude eines ersten Schwellenwerts (U₁) und beim Erfassen des zweiten Punktes (P2) der zwei vorgegebenen Punkte (P1, P2) einen Vergleich mit der Spannungsamplitude eines zweiten Schwellenwerts (-U₁) durchführt.

4. Vorrichtung (10) gemäß Anspruch 1 oder 2,

dadurch gekennzeichnet,

dass die Versorgungsvorrichtung (15) eine Konstantstromquelle umfasst.

5. Vorrichtung (10) gemäß Anspruch 1,

dadurch gekennzeichnet,

dass die Auswertevorrichtung (16) einen Analog-Digital-Wandler (16.4) umfasst, um den Spannungspuls (U(t)) abzutasten und in digitale Werte umzuwandeln.

6. Vorrichtung (10) gemäß Anspruch 4,

dadurch gekennzeichnet,

dass die Auswertevorrichtung (16) eine digitale Verarbeitungsvorrichtung (16.7) umfasst, welche die zwei vorgegebene Punkte (P1, P2) des Spannungspulses (U(t)) erfasst, indem korrespondierende digitale Werte durch einen Vergleich mit gespeicherten, vorgegebenen Werten ausgewertet werden.

7. Vorrichtung (10) gemäß Anspruch 1,

dadurch gekennzeichnet,

dass die Auswertevorrichtung (16) Zeitmessungsmittel (16.7) umfasst, um das Zeitintervall (TZ) der zwei Punkte (P1, P2) ermitteln zu können.

8. Vorrichtung (10) gemäß einem der Ansprüche 1 bis 7,

dadurch gekennzeichnet, dass der Verlauf des Spannungspulses (U(t)) und die Lage der vorgegebenen Punkte (P1, P2) vom Typ des Projektils (1) abhängen und vorzugsweise in einem Speicher (16.5), in einem Register oder in einer Tabelle vorgegeben ist.

9. Vorrichtung (10) gemäß Anspruch 8,

dadurch gekennzeichnet,

dass die Auswertevorrichtung (16) Information über das zu verschossene Projektil (1) von einem Hauptrechner

oder von einer Messeinrichtung übermittelt bekommt.

- 5 **10.** Vorrichtung (10) gemäss einem der Ansprüche 1 bis 9,
dadurch gekennzeichnet,
dass der Spannungspuls ($U(t)$) einen ersten Kurvenzug (K1), einen Nulldurchgang und einen zweiten Kurvenzug (K2) aufweist, wobei der Nulldurchgang mit dem Zeitpunkt ($t = t_a$) korreliert ist, zu dem sich das Projektil (1) mittig in der Spule (12) befindet.
- 10 **11.** Vorrichtung (10) gemäss Anspruch 10,
dadurch gekennzeichnet,
dass der erste Punkt (P1) der zwei vorgegebenen Punkte (P1, P2) im Bereich des ersten Kurvenzugs (K1) und der zweite Punkt (P2) der zwei vorgegebenen Punkte (P1, P2) im Bereich des zweiten Kurvenzugs (K2) liegen.
- 15 **12.** Vorrichtung (10) gemäss einem der vorhergehenden Ansprüche,
dadurch gekennzeichnet,
dass der Spannungspuls ($U(t)$) einen Verlauf hat, der von dem Spulendurchmesser (D), den Abmessungen (L, DG) des Projektils (1), der Permeabilität (μ_r) des Projektils (1) und dem Strom (I) abhängt.
- 20 **13.** Vorrichtung (10) gemäss einem der vorhergehenden Ansprüche,
dadurch gekennzeichnet,
dass es eine vorherbestimmbare Korrelationsgrösse (K) zwischen der Mündungsgeschwindigkeit des Projektils (1) und dem Zeitintervall (TZ) der zwei Punkte (P1, P2) gibt, die beim Berechnen der Mündungsgeschwindigkeit (V_0) eingesetzt wird.
- 25 **14.** Vorrichtung (10) gemäss einem der vorhergehenden Ansprüche,
dadurch gekennzeichnet,
dass die Auswertevorrichtung (16) Mittel (16.7) umfasst, um für jeden neuen Typ des Projektils (1) eine Ausgleichsrechnung zwischen der Mündungsgeschwindigkeit (V_0) und dem Zeitintervall (TZ) durchführen zu können.
- 30 **15.** Verfahren zur Ermittlung der Mündungsgeschwindigkeit eines Projektils (1) beim Austritt aus einem Waffenrohr (11), wobei eine Spule (12) im Bereich des Austritts um eine Längsachse (11.1) des Waffenrohrs (11) herum angeordnet wird, und wobei die folgenden Schritte ausgeführt werden:
- Einspeisen eines Stroms (I) in die Spule (12), um ein Magnetfeld (H) zu erzeugen,
 - 35 - Bewegen des Projektils (1) durch das Magnetfeld (H) der Spule (12) hindurch,
 - Abgreifen eines Spannungspulses ($U(t)$), der beim Durchtritt des Projektils (1) durch das Magnetfeld (H) der Spule (12) induziert wird und dessen zeitliche Dauer mit der Mündungsgeschwindigkeit (V_0) und der Länge (L) des Projektils (1) korreliert ist,
 - 40 - Ermitteln des zeitlichen Abstandes (TZ) zwischen zwei Punkten (P1, P2) des Spannungspulses ($U(t)$), wobei die Punkte (P1, P2) vorgegeben sind,
 - Bereitstellen einer Korrelationsgrösse (K), der für den Typ des Projektils (1) charakteristisch ist,
 - Ermitteln der Mündungsgeschwindigkeit (V_0) des Projektils (1) unter Verwendung der Korrelationsgrösse (K) und des Zeitintervalls (TZ).
- 45 **16.** Verfahren nach Anspruch 15,
dadurch gekennzeichnet,
dass der Typ des Projektils (1) automatisch erkannt oder manuell eingegeben wird.
- 50 **17.** Verfahren nach Anspruch 15 oder 16,
dadurch gekennzeichnet,
dass vor dem Ermitteln des zeitlichen Abstandes (TZ) der Spannungspuls ($U(t)$) einer Analog-Digital-Wandlung unterzogen wird.

55

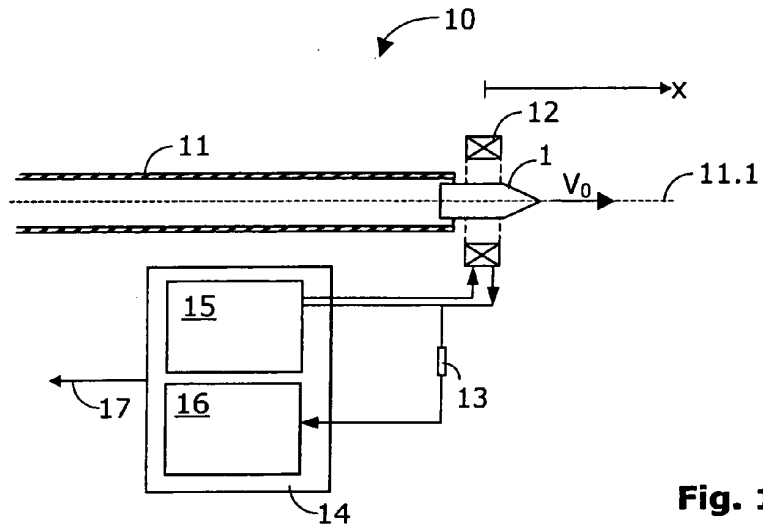


Fig. 1

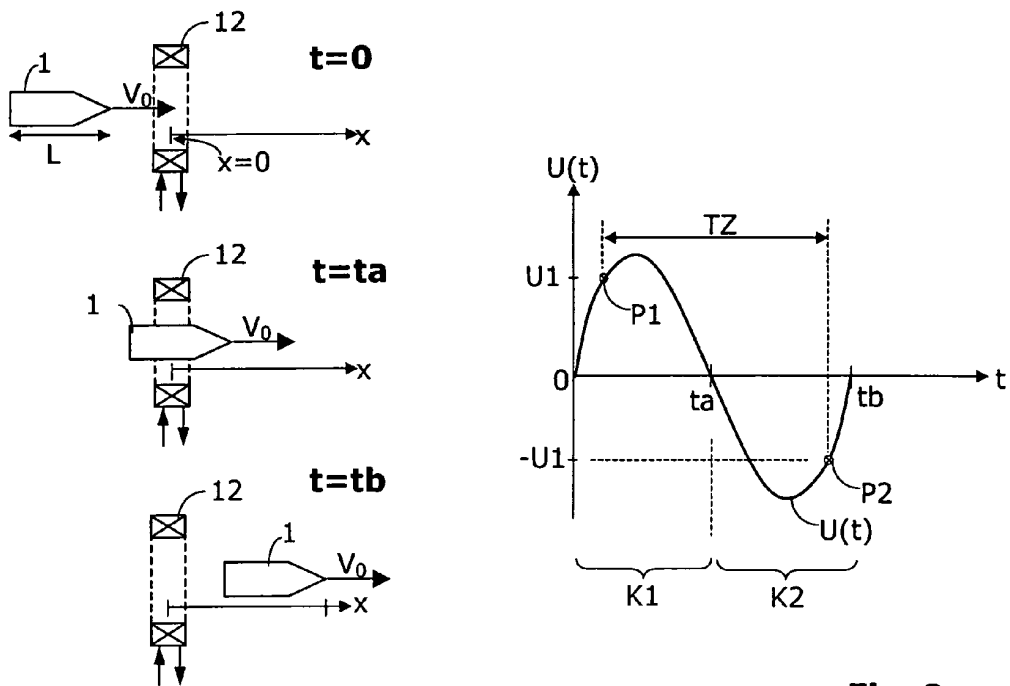


Fig. 2

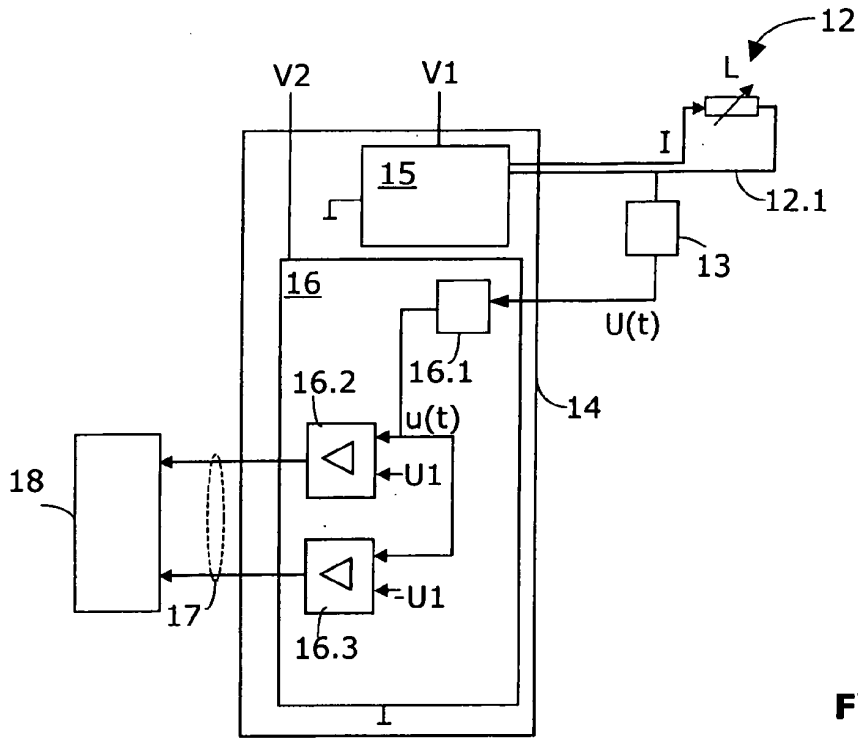


Fig. 3

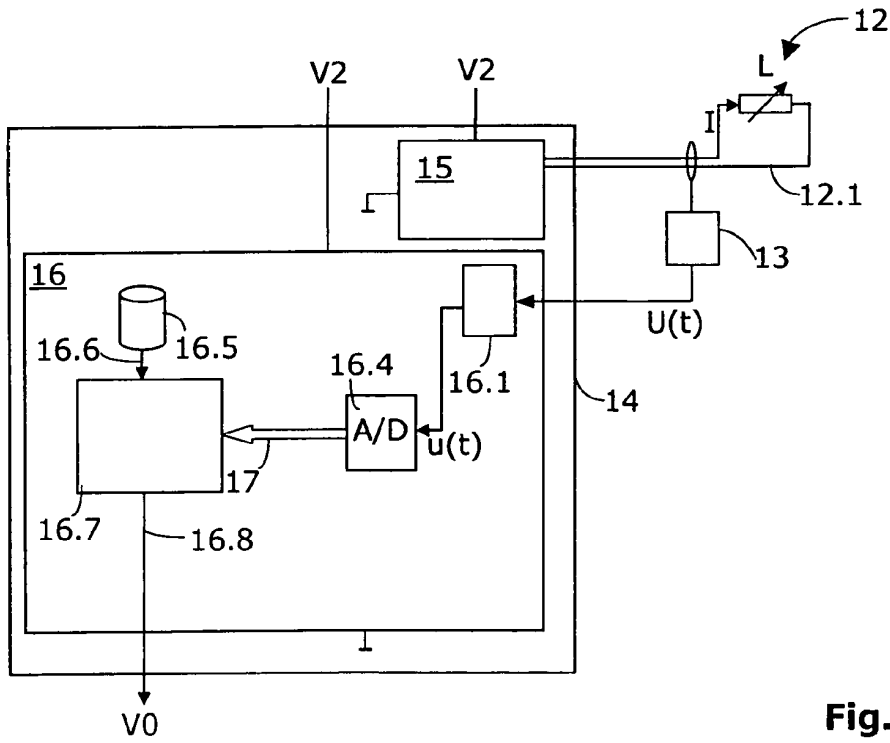


Fig. 4



Europäisches
Patentamt

EUROPÄISCHER RECHERCHENBERICHT

Nummer der Anmeldung
EP 04 00 7014

EINSCHLÄGIGE DOKUMENTE			
Kategorie	Kennzeichnung des Dokuments mit Angabe, soweit erforderlich, der maßgeblichen Teile	Betrifft Anspruch	KLASSIFIKATION DER ANMELDUNG (Int.Cl.7)
X,D	PATENT ABSTRACTS OF JAPAN vol. 017, no. 566 (P-1629), 14. Oktober 1993 (1993-10-14) -& JP 05 164769 A (JAPAN STEEL WORKS LTD:THE), 29. Juni 1993 (1993-06-29) * Zusammenfassung; Abbildungen 1,2 *	1,3-5,7, 9-13, 15-17	G01P3/66
A,D	GB 2 200 215 A (FERRANTI PLC) 27. Juli 1988 (1988-07-27) * Seite 4, Zeile 15 - Seite 7, Zeile 9; Abbildungen 1,2 *	1,15	
A	FR 914 221 A (L DOIGNON ATEL) 2. Oktober 1946 (1946-10-02) * das ganze Dokument *	1,15	
			RECHERCHIERTES SACHGEBIETE (Int.Cl.7)
			G01P F41G F42C
Der vorliegende Recherchenbericht wurde für alle Patentansprüche erstellt			
Forschungsort		Abschlußdatum der Recherche	
DEN HAAG		13. Mai 2004	
		Prüfer	
		Pflugfelder, G	
KATEGORIE DER GENANNTEN DOKUMENTE			
X : von besonderer Bedeutung allein betrachtet Y : von besonderer Bedeutung in Verbindung mit einer anderen Veröffentlichung derselben Kategorie A : technologischer Hintergrund O : mündliche Offenbarung P : Zwischenliteratur		T : der Erfindung zugrunde liegende Theorien oder Grundsätze E : älteres Patentedokument, das jedoch erst am oder nach dem Anmeldedatum veröffentlicht worden ist D : in der Anmeldung angeführtes Dokument L : aus anderen Gründen angeführtes Dokument & : Mitglied der gleichen Patentfamilie, übereinstimmendes Dokument	

EPO FORM 1503 03 82 (P4aC03)

**ANHANG ZUM EUROPÄISCHEN RECHERCHENBERICHT
ÜBER DIE EUROPÄISCHE PATENTANMELDUNG NR.**

EP 04 00 7014

In diesem Anhang sind die Mitglieder der Patentfamilien der im obengenannten europäischen Recherchenbericht angeführten Patendokumente angegeben.
Die Angaben über die Familienmitglieder entsprechen dem Stand der Datei des Europäischen Patentamts am
Diese Angaben dienen nur zur Unterrichtung und erfolgen ohne Gewähr.

13-05-2004

Im Recherchenbericht angeführtes Patendokument	Datum der Veröffentlichung	Mitglied(er) der Patentfamilie	Datum der Veröffentlichung
JP 05164769 A	29-06-1993	KEINE	
GB 2200215 A	27-07-1988	KEINE	
FR 914221 A	02-10-1946	KEINE	

EPO FORM 20461

Für nähere Einzelheiten zu diesem Anhang : siehe Amtsblatt des Europäischen Patentamts, Nr.12/82